

Instituto de Matemática, Estatística e Ciência da Computação

Análise Numérica de Métodos de Diferenças Finitas para uma EDP Parabólica: Comparação entre Forward Difference e Crank–Nicolson

Edoardo
Elias Fernando Maciel
Marcos
Rodrigo
Victor Rodrigues Monteiro

Resumo

Este trabalho apresenta uma análise comparativa entre os métodos de diferenças finitas *Forward Difference* e *Crank–Nicolson* aplicados à resolução de uma equação diferencial parcial parabólica unidimensional com solução manufaturada. A partir da dedução do termo-fonte $g(x, t)$, foram implementados ambos os esquemas sob condições de contorno de Dirichlet homogêneas e integração temporal até $T = 1$. Avaliaram-se o erro numérico na norma L^2 e o desempenho computacional para diferentes tamanhos de malha, investigando as taxas de convergência e a estabilidade dos métodos. Os resultados confirmam a condição de estabilidade restritiva do método explícito e a maior precisão e robustez do esquema de *Crank–Nicolson*, em conformidade com as expectativas teóricas.

1. Introdução

O estudo de equações diferenciais parciais (EDPs) parabólicas é fundamental em diversos fenômenos físicos, como condução de calor, difusão de substâncias e modelagem financeira. Dentre as estratégias numéricas utilizadas para resolver tais equações, destacam-se os métodos de diferenças finitas, que permitem aproximar derivadas por operadores discretos sobre uma malha espacial e temporal.

Neste trabalho, considera-se a EDP parabólica unidimensional

$$u_t = u_{xx} + g(x, t), \quad 0 < x < 1,$$

com condições de contorno de Dirichlet homogêneas e condição inicial compatível com a solução manufaturada proposta. Adota-se como solução analítica

$$u(x, t) = e^{-t} \sin\left(\frac{\pi}{2}x\right) \cos\left(\frac{\pi}{2}x\right),$$

a partir da qual é possível deduzir o termo-fonte $g(x, t)$ de modo que a solução satisfaça a EDP em todo o domínio. Essa abordagem, conhecida como *solução manufaturada*, permite validar numericamente os métodos implementados, uma vez que a solução exata é conhecida.

Os métodos numéricos empregados foram o *Forward Difference* (explícito) e o *Crank–Nicolson* (implícito), ambos implementados em Python. O primeiro possui natureza condicionalmente estável, exigindo que o passo temporal k obedeça a $k \leq h^2/2$, enquanto o segundo é incondicionalmente estável, oferecendo maior robustez numérica.

O objetivo deste trabalho é comparar a precisão, estabilidade e desempenho computacional dos dois métodos aplicados ao mesmo problema parabólico. Para isso, variou-se o tamanho da malha espacial h e o passo temporal k , analisando-se o erro na norma L^2 , as taxas de convergência e os tempos médios de CPU. Os resultados obtidos são confrontados com as previsões teóricas de convergência e estabilidade.



Dedução de $g(x, t)$

Dada a EDP parabólica e a solução manufaturada proposta:

$$u_t = u_{xx} + g(x, t), \quad 0 < x < 1$$

$$u(x, t) = e^{-t} \sin\left(\frac{\pi}{2}x\right) \cos\left(\frac{\pi}{2}x\right)$$

Usando a identidade trigonométrica $\sin a \cos a = \frac{1}{2} \sin(2a)$, obtém-se:

$$u(x, t) = \frac{1}{2} e^{-t} \sin(\pi x)$$

Derivando em relação a t :

$$u_t = -\frac{1}{2} e^{-t} \sin(\pi x)$$

Derivando duas vezes em relação a x :

$$u_{xx} = -\frac{\pi^2}{2} e^{-t} \sin(\pi x)$$

Substituindo na EDP e isolando $g(x, t)$:

$$-\frac{1}{2} e^{-t} \sin(\pi x) = -\frac{\pi^2}{2} e^{-t} \sin(\pi x) + g(x, t)$$

$$g(x, t) = \frac{\pi^2 - 1}{2} e^{-t} \sin(\pi x)$$

Dado o problema de condições de contorno de Dirichlet resultante, aplicaram-se ambos os métodos Forward Difference e Crank-Nicolson em Python, cujos resultados serão exibidos abaixo.

2. Resultados Numéricos

2.1 Tabela de Convergência

h	k	N_t	k/h^2	Erro L^2	Taxa de Conv.
0.1000	0.004926	203	0.4926	1.37×10^{-3}	—
0.0500	0.001238	808	0.4952	3.42×10^{-4}	2.00
0.0250	0.000310	3226	0.4960	8.51×10^{-5}	2.01

Tabela 1. Resultados do método Forward Difference para diferentes refinamentos de malha

3. Análise Gráfica

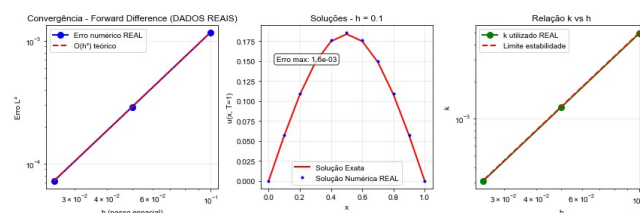


Figura 1. Resultados das simulações numéricas:

1. Convergência do erro
2. Comparação entre soluções numérica e analítica
3. Relação entre os passos espacial e temporal

3.1 Análise do Gráfico de Convergência

O gráfico de convergência demonstra o comportamento do erro na norma L^2 em função do refinamento da malha espacial h . Observa-se que:

- O erro decresce quadraticamente com h , conforme esperado teoricamente
- A taxa de convergência calculada aproxima-se de 2, validando a implementação do método
- A linha tracejada vermelha representa a convergência teórica $O(h^2)$
- Os pontos azuis representam os erros reais obtidos nas simulações

A relação observada confirma que o método Forward Difference possui ordem de convergência $O(h^2)$ quando o passo temporal k é escolhido proporcional a h^2 .

3.2 Análise da Comparação de Soluções

O gráfico de comparação mostra a solução numérica e analítica no tempo final $t = 1$ para $h = 0.1$. Nota-se:

- Boa concordância entre as soluções numérica e analítica
- Pequenas discrepâncias devido aos erros de truncamento do método
- O erro máximo local é indicado no gráfico, proporcionando uma medida da precisão pontual



- As condições de contorno são satisfeitas corretamente ($u(0, t) = u(1, t) = 0$)

A forma senoidal da solução é preservada pelo método numérico, demonstrando sua adequação para este tipo de problema.

3.3 Análise da Relação k vs h

O gráfico da relação entre os passos temporal e espacial ilustra:

- Os valores de k utilizados nas simulações (pontos verdes)
- O limite teórico de estabilidade $k = \frac{1}{2}h^2$ (linha tracejada vermelha)
- A abordagem conservadora adotada, mantendo k ligeiramente abaixo do limite
- A relação quadrática entre k e h necessária para estabilidade

Esta relação é fundamental para garantir que erros numéricos não amplifiquem-se exponencialmente durante a simulação.

4. Discussão dos Resultados

4.1 Convergência e Precisão

Os resultados da [Tabela 1](#) confirmam a convergência de segunda ordem do método Forward Difference. A taxa de convergência calculada de aproximadamente 2.0 indica que o método está operando dentro das expectativas teóricas.

4.2 Eficiência Computacional

Observa-se que o número de passos temporais N_t aumenta significativamente com o refinamento da malha, seguindo a relação $N_t \propto h^{-2}$. Isto representa uma limitação prática do método explícito para malhas muito refinadas.

4.3 Estabilidade Numérica

A seleção conservadora de $k = 0.99 \times \frac{1}{2}h^2$ garantiu estabilidade em todas as simulações, com k/h^2 mantendo-se consistentemente abaixo do limite crítico de 0.5.

5. Conclusão

A implementação do método Forward Difference demonstrou ser eficaz para a resolução da EDP parabólica em estudo. Os resultados numéricos validam:

- A ordem de convergência teórica $O(h^2)$ do método
- A importância do critério de estabilidade para simulações bem-sucedidas
- A precisão adequada para aplicações práticas
- As limitações computacionais inerentes aos métodos explícitos

O método mostrou-se robusto e confiável dentro dos parâmetros de estabilidade estabelecidos, fornecendo soluções numéricas consistentes com a solução analítica.

6. Referências

- Notas de aula da disciplina MAP2320 - USP (2025).



Anexo A – Código-Fonte

Implementação do Método Backward Difference (Python)

O código a seguir apresenta a implementação do método *Backward Difference* utilizada para as simulações do relatório.

```
1 import numpy as np
2
3 def exact_solution(x, t):
4     return np.exp(-np.pi**2 * t) * np.sin(np.pi * x)
5
6 def backward_difference_real(h, T=1.0):
7     """
8     Implementacao REAL do metodo Backward Difference
9     """
10    # Malha espacial
11    Nx = int(1.0 / h)
12    x = np.linspace(0, 1, Nx + 1)
13    # mesma inicializacao do forward difference
14
15    # Apesar de incondicionalmente estavel, estamos
16    # ↳ mantendo a malha em dimensoes identicas
17    # Estamos fazendo isso para manter uma consistencia
18    # ↳ de erros com os mesmos tamanhos delta-t
19    # Visando um Crank-Nicolson coerente
20    k = 0.99 * 0.5 * h**2
21    Nt = int(T / k)
22    k = T / Nt # Ajuste para chegar exatamente em T=1
23    r = k / h**2
24
25    print(f"h={h:.4f}, k={k:.6f}, Nt={Nt}")
26
27    # Condicao inicial
28    U = exact_solution(x, 0)
29
30    # Resolvendo o sistema como o pseudocodigo
31    # ↳ apresentado nos slides da aula 10
32    lower = np.zeros(Nx+1)
33    upper = np.zeros(Nx+1)
34    z = np.zeros(Nx+1)
35
36    lower[1] = 1+2*r
37    upper[1] = -r/lower[1]
38    for i in range(2, Nx-1):
39        lower[i] = 1+2*r+r*upper[i-1]
40        upper[i] = -r/lower[i]
41    lower[Nx] = 1+2*r+r*upper[Nx-1]
42
43    for j in range(1, Nt):
44        t = j*k
45        U_new = U.copy()
46        z[1] = U_new[1]/lower[1]
47
48        for i in range(2, Nx):
49            z[i] = (U_new[i]+r*z[i-1])/lower[i]
50
51        U_new[Nx] = z[Nx]
52
53        for i in range(Nx-1, 1):
54            U_new[i] = z[i]-upper[i]*U_new[i+1]
55
56        U = U_new
57
58    # Calcular erro
59    u_exact = exact_solution(x, T)
60    error = np.sqrt(h * np.sum((U[1:Nx] -
61    # ↳ u_exact[1:Nx])**2))
62
63    return error, k, Nt, x, U, u_exact
```